

連続体力学 第3回

応力テンソルと歪みテンソル

川崎猛史

大阪大学 D3 センター / 大学院理学研究科物理学専攻

Last update : October 16, 2025

第3回講義資料目次

- 1 講義のスケジュール
- 2 応力テンソルの性質
 - 応力テンソルの対称性
- 3 連続体の変形と応力
 - 連続体の変形
 - 歪みテンソルと回転ベクトル
 - さまざまな変形と歪みテンソル
- 4 まとめ

第3回講義資料目次

- 1 講義のスケジュール
- 2 応力テンソルの性質
 - 応力テンソルの対称性
- 3 連続体の変形と応力
 - 連続体の変形
 - 歪みテンソルと回転ベクトル
 - さまざまな変形と歪みテンソル
- 4 まとめ

3.1. 講義のスケジュール

- | | | | |
|---|-------------------------|----|----------------------|
| 1 | 10/6：第 1 回 | 9 | 12/15：第 9 回 |
| 2 | 10/20：第 2 回 | 10 | 12/22：第 10 回 |
| 3 | 10/27：第 3 回 | 11 | 1/5：第 11 回 |
| 4 | 11/5(水)：第 4 回 | 12 | 1/15(木)：第 12 回 |
| 5 | 11/17：第 5 回 (11/10 は休講) | 13 | 1/19：第 13 回 |
| 6 | 11/26(水)：第 6 回 | 14 | 1/26：第 14 回 |
| 7 | 12/1：第 7 回 | 15 | 2/2：第 15 回 期末試験 (予定) |
| 8 | 12/8：第 8 回 | | |

第3回講義資料目次

- 1 講義のスケジュール
- 2 応力テンソルの性質
 - 応力テンソルの対称性
- 3 連続体の変形と応力
 - 連続体の変形
 - 歪みテンソルと回転ベクトル
 - さまざまな変形と歪みテンソル
- 4 まとめ

3.2. 応力テンソルの性質

本節では、前回導入した応力テンソルの性質について議論する.

3.2.1. 応力テンソルの対称性

♣ 応力テンソルの対称性

■ 応力テンソルは

$$\boxed{P_{ij} = P_{ji}} \quad (1)$$

のように、非対角項はすべて対称になることが知られている。

- このことは、微小連続体を考えたときに、回転トルクが0になることから示される。
- たとえば、 x_1 - x_2 平面上に張られる微小体積要素を考える。
- この時、ここに働く応力からのトルク (x_3 軸まわり) は、

$$\underbrace{(P_{12}dx_2dx_3)}_{F_{12}}dx_1 - \underbrace{(P_{21}dx_1dx_3)}_{F_{21}}dx_2 = (P_{12} - P_{21})dV \quad (2)$$

となり、体積（長さの3乗）に比例することがわかる。

3.2.1. 応力テンソルの対称性 (2)

- 一方、体積力に関してはその力が体積に比例することから、そのモーメントは長さの 4 乗に比例する。
- また、慣性項は慣性モーメントが長さの 5 乗に比例する（慣性モーメント：質量 \times 長さ²）。
- これより、体積要素が小さくなるとこれらのトルクは応力からのトルクに比べて小さくなることがわかる。
- これより回転の運動方程式（角運動量保存則）を立てると

$$(P_{12} - P_{21})dV = 0 \quad (3)$$

となり、

$$P_{12} = P_{21} \quad (4)$$

と言える (図 1)。

3.2.1. 応力テンソルの対称性 (3)

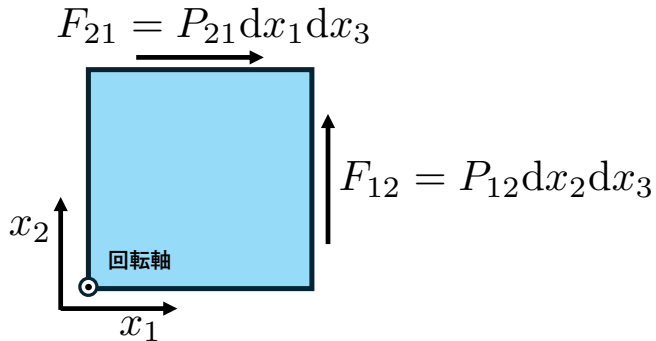


図 1: x_1 - x_2 平面上に張られる微小体積要素に働く、面積力の x_3 と平行軸周りのトルクは釣り合う。

3.2.1. 応力テンソルの対称性 (4)

- 同様に

$$P_{13} = P_{31}, \quad P_{23} = P_{32} \quad (5)$$

となる.

- したがって、応力テンソルは対称テンソルであり、独立な成分は 9 個ではなく 6 個である.

第3回講義資料目次

- 1 講義のスケジュール
- 2 応力テンソルの性質
 - 応力テンソルの対称性
- 3 連続体の変形と応力
 - 連続体の変形
 - 歪みテンソルと回転ベクトル
 - さまざまな変形と歪みテンソル
- 4 まとめ

3.3. 連続体の变形と応力

- 連続体の運動方程式を解くには，連続体の密度 ρ ，速度 \mathbf{u} ，応力テンソル \mathbf{P} を決定する必要がある．
- 連続体が变形すると応力の変化がもたらされる．
- その変化は弾性体と流体で異なる．
- 以下，連続体の变形と応力の関係について議論する．

3.3.1. 連続体の変形

♣ 連続体の変形

- ここでは連続体の運動を考える.
- 連続体中の 2 点 \mathbf{x} と \mathbf{x}' を考え, それぞれが \mathbf{r} および \mathbf{r}' 変位したとする.
- この時,

$$\mathbf{r}(\mathbf{x}) = \mathbf{r}'(\mathbf{x}') \quad (6)$$

ならば変形なし.

$$\mathbf{r}(\mathbf{x}) \neq \mathbf{r}'(\mathbf{x}') \quad (7)$$

であれば変形が起きていると考えられる.

- したがって,

$$\delta \mathbf{r}(\delta \mathbf{x}) = \mathbf{r}'(\mathbf{x}') - \mathbf{r}(\mathbf{x}) \quad (8)$$

を変形 (deformation) と呼ぶ.

3.3.1. 連続体の変形 (2)

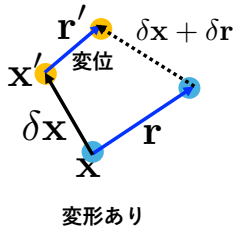
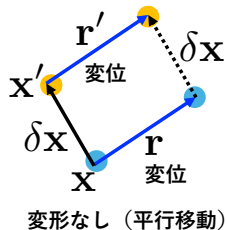


図 2: 連続体中の 2 点 x と x' がそれぞれ, r および r' 変位した際, $r(x) = r'(x')$ の変形なしの場合 (左) と $r(x) \neq r'(x')$ 変形ありの場合 (右). つまり $\delta r(\delta x) \neq 0$ であれば連続体の変形がある.

- このように変形 δr は 2 点間の相対位置 δx の関数である.

3.3.1. 連続体の変形 (3)

- このため、 $\delta \mathbf{x}$ を微小量として、 $\delta \mathbf{r}$ を Taylor 展開すると

$$\delta r_i = \sum_{j=1}^3 \frac{\partial r_i}{\partial x_j} \delta x_j + O((\delta \mathbf{x})^2) \quad (9)$$

となる．ここで高次の項は無視した．

- ここで出てくる $\frac{\partial r_i}{\partial x_j}$ は 2 点の相対位置 $\delta \mathbf{x}$ の大きさによらない量であり，連続体の変形の性質を議論する上で便利である．

3.3.1. 連続体の変形 (4)

■ そこで,

$$\frac{\partial r_i}{\partial x_j} =: (D)_{ij} \quad (10)$$

とする. すると,

$$\delta \mathbf{r}(\delta \mathbf{x}) = \mathbf{D} \cdot \delta \mathbf{x} \quad (11)$$

と書ける. 各成分を書き下すと

$$\mathbf{D} = \begin{pmatrix} \frac{\partial r_1}{\partial x_1} & \frac{\partial r_1}{\partial x_2} & \frac{\partial r_1}{\partial x_3} \\ \frac{\partial r_2}{\partial x_1} & \frac{\partial r_2}{\partial x_2} & \frac{\partial r_2}{\partial x_3} \\ \frac{\partial r_3}{\partial x_1} & \frac{\partial r_3}{\partial x_2} & \frac{\partial r_3}{\partial x_3} \end{pmatrix} \quad (12)$$

である. これを変形勾配テンソル (deformation gradient tensor) と呼ぶ.

3.3.2. 歪みテンソルと回転ベクトル

♣ 歪みテンソルと回転ベクトル

- 変形勾配テンソル D は一般に対称ではない.
- これを以下のように対称・反対称部分に分ける：

$$(D)_{ij} = (E)_{ij} + (F)_{ij} \quad (13)$$

ここで,

$$(E)_{ij} = \frac{1}{2} \left(\frac{\partial r_i}{\partial x_j} + \frac{\partial r_j}{\partial x_i} \right) \quad (14)$$

$$(F)_{ij} = \frac{1}{2} \left(\frac{\partial r_i}{\partial x_j} - \frac{\partial r_j}{\partial x_i} \right) \quad (15)$$

3.3.2. 歪みテンソルと回転ベクトル (2)

- あとで議論するが，応力の寄与に関係するのは対称テンソル E である．これを歪みテンソル (strain tensor) といい，弾性体の場合，応力は歪みに対する線形和で書ける (Hooke の法則：次回以降扱う)．これらの比例係数を弾性係数と呼ぶ．
- 一方，反対称テンソル F は回転に寄与し，応力変化に寄与しない．これを回転テンソル (rotation tensor) という．
- これらの性質を以下の単純な例を用いて確認する．

3.3.3. さまざまな変形と歪みテンソル

♣ さまざまな変形と歪みテンソル

(例 1) $(E)_{11} = \frac{1}{2} \left(\frac{\partial r_1}{\partial x_1} + \frac{\partial r_1}{\partial x_1} \right) = \frac{\partial r_1}{\partial x_1}$ のみが存在して他が 0 である場合を考える.

$$E = \begin{pmatrix} \frac{\partial r_1}{\partial x_1} & 0 & 0 \\ 0 & 0 & 0 \\ 0 & 0 & 0 \end{pmatrix} \quad (16)$$

また $F = 0$ とする.

■ 変形は

$$\delta \mathbf{r} = \mathbf{D} \cdot \delta \mathbf{x} = \mathbf{E} \cdot \delta \mathbf{x} \quad (17)$$

で与えられる.

3.3.3. さまざまな変形と歪みテンソル (2)

- すなわち,

$$\delta r_1 = \frac{\partial r_1}{\partial x_1} \delta x_1, \quad \delta r_2 = 0, \quad \delta r_3 = 0 \quad (18)$$

となる．これは一軸伸長を表す (図 3)．

3.3.3. さまざまな変形と歪みテンソル (3)

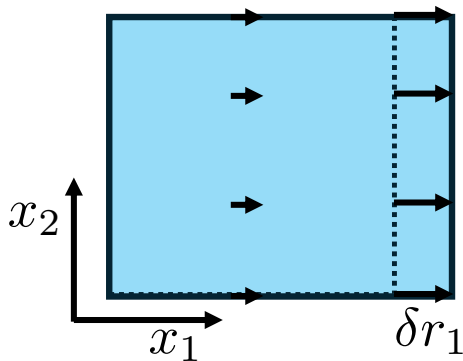


図 3: 一軸伸長

3.3.3. さまざまな変形と歪みテンソル (4)

(例 2) $(E)_{11}, (E)_{22}, (E)_{33}$ のみが存在して他が 0 である場合を考える.

$$E = \begin{pmatrix} \frac{\partial r_1}{\partial x_1} & 0 & 0 \\ 0 & \frac{\partial r_2}{\partial x_2} & 0 \\ 0 & 0 & \frac{\partial r_3}{\partial x_3} \end{pmatrix} \quad (19)$$

また $F = 0$ とする.

3.3.3. さまざまな変形と歪みテンソル (5)

■ 変形は

$$\delta \mathbf{r} = \mathbf{D} \cdot \delta \mathbf{x} = \mathbf{E} \cdot \delta \mathbf{x} \quad (20)$$

であり,

$$\delta r_i = \frac{\partial r_i}{\partial x_i} \delta x_i \quad (i = 1, 2, 3) \quad (21)$$

となる．これは，各軸方向に独立に伸縮する等方的な変形を表す (図 4)．

3.3.3. さまざまな変形と歪みテンソル (6)

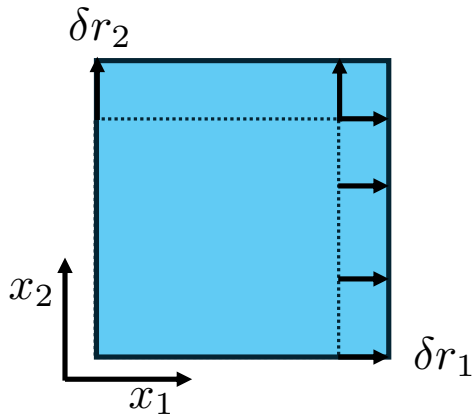


図 4: 多軸伸長

3.3.3. さまざまな変形と歪みテンソル (7)

- 例 1, 2 はいずれも歪みテンソルの対角成分による変形であり, 一般に体積変化を伴う.
- 実際, 連続体の体積 $\delta V = \delta x_1 \delta x_2 \delta x_3$ が $\delta V' = \delta x'_1 \delta x'_2 \delta x'_3$ に変形したとする.
- すると,

$$\begin{aligned}\delta V' &= (\delta x_1 + \delta r_1)(\delta x_2 + \delta r_2)(\delta x_3 + \delta r_3) \\ &= \left(1 + \frac{\partial r_1}{\partial x_1}\right) \left(1 + \frac{\partial r_2}{\partial x_2}\right) \left(1 + \frac{\partial r_3}{\partial x_3}\right) \delta x_1 \delta x_2 \delta x_3 \\ &\simeq \left(1 + \sum_{i=1}^3 \frac{\partial r_i}{\partial x_i}\right) \delta V\end{aligned}\tag{22}$$

3.3.3. さまざまな変形と歪みテンソル (8)

- よって体積変化率は

$$\frac{\delta V' - \delta V}{\delta V} = \sum_{i=1}^3 \frac{\partial r_i}{\partial x_i} = \text{tr}(\mathbf{E}) \quad (23)$$

で表され、いずれの場合も有限の体積変化が生じる。

3.3.3. さまざまな変形と歪みテンソル (9)

(例 3) $(E)_{12}, (E)_{21}$ のみが存在して他が 0 である場合を考える．また $\frac{\partial r_1}{\partial x_2} = \frac{\partial r_2}{\partial x_1}$ とする．

$$E = \begin{pmatrix} 0 & \frac{\partial r_1}{\partial x_2} & 0 \\ \frac{\partial r_2}{\partial x_1} & 0 & 0 \\ 0 & 0 & 0 \end{pmatrix} \quad (24)$$

また $F = 0$ とする．

このとき，変形は

$$\delta \mathbf{r} = D \cdot \delta \mathbf{x} = E \cdot \delta \mathbf{x} = \begin{pmatrix} 0 & \frac{\partial r_1}{\partial x_2} & 0 \\ \frac{\partial r_2}{\partial x_1} & 0 & 0 \\ 0 & 0 & 0 \end{pmatrix} \begin{pmatrix} \delta x_1 \\ \delta x_2 \\ \delta x_3 \end{pmatrix} = \begin{pmatrix} \frac{\partial r_1}{\partial x_2} \delta x_2 \\ \frac{\partial r_2}{\partial x_1} \delta x_1 \\ 0 \end{pmatrix} \quad (25)$$

3.3.3. さまざまな変形と歪みテンソル (10)

で与えられる．すなわち，

$$\delta r_1 = \frac{\partial r_1}{\partial x_2} \delta x_2, \quad \delta r_2 = \frac{\partial r_2}{\partial x_1} \delta x_1, \quad \delta r_3 = 0. \quad (26)$$

仮定より $\frac{\partial r_1}{\partial x_2} = \frac{\partial r_2}{\partial x_1} \equiv \frac{\gamma}{2}$ とおけば， $\delta r_1 = \frac{\gamma}{2} \delta x_2$, $\delta r_2 = \frac{\gamma}{2} \delta x_1$, $\delta r_3 = 0$ と簡潔に書ける．

このような変形を 純粹剪断（ずれ）変形 (**pure shear deformation**) と呼び，対応する歪みを 剪断歪み (**shear strain**) という (図 5)．

3.3.3. さまざまな変形と歪みテンソル (11)

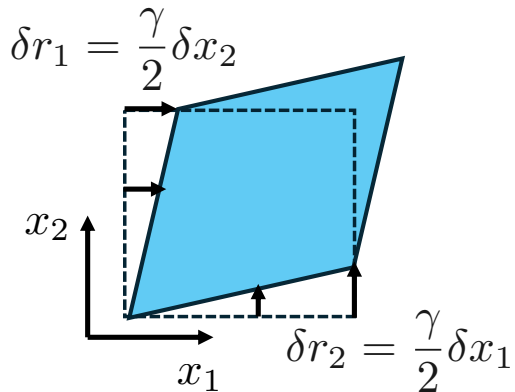


図 5: 純粋剪断変形

3.3.3. さまざまな変形と歪みテンソル (12)

なお、このときの体積変化は

$$\frac{\delta V' - \delta V}{\delta V} = \sum_{i=1}^3 \frac{\partial r_i}{\partial x_i} = 0 \quad (27)$$

となり、体積変化を伴わない変形である。

3.3.3. さまざまな変形と歪みテンソル (13)

最後に、反対称テンソル F を考察する.

■ F は,

$$F = \begin{pmatrix} 0 & -F_{21} & F_{13} \\ F_{21} & 0 & -F_{32} \\ -F_{13} & F_{32} & 0 \end{pmatrix} \quad (28)$$

という構造をとり、各成分は

$$F_{32} = \frac{1}{2} \left(\frac{\partial r_3}{\partial x_2} - \frac{\partial r_2}{\partial x_3} \right) \quad (29)$$

$$F_{13} = \frac{1}{2} \left(\frac{\partial r_1}{\partial x_3} - \frac{\partial r_3}{\partial x_1} \right) \quad (30)$$

$$F_{21} = \frac{1}{2} \left(\frac{\partial r_2}{\partial x_1} - \frac{\partial r_1}{\partial x_2} \right) \quad (31)$$

3.3.3. さまざまな変形と歪みテンソル (14)

であることから,

$$2F_{32} = \Omega_1 \quad (32)$$

$$2F_{13} = \Omega_2 \quad (33)$$

$$2F_{21} = \Omega_3 \quad (34)$$

とおく.

- いま, 以下のようにベクトル Ω は

$$\Omega = \begin{pmatrix} \Omega_1 \\ \Omega_2 \\ \Omega_3 \end{pmatrix} = \nabla \times \mathbf{r} = \text{rot } \mathbf{r} \quad (35)$$

であり, 変位場 \mathbf{r} の回転成分 (回転ベクトル) であることがわかる.

3.3.3. さまざまな変形と歪みテンソル (15)

(例 4) 変形勾配テンソルが

$$\mathbf{D} = \mathbf{F} = \begin{pmatrix} 0 & -\frac{1}{2}\Omega_3 & 0 \\ \frac{1}{2}\Omega_3 & 0 & 0 \\ 0 & 0 & 0 \end{pmatrix} \quad (36)$$

である場合を考える．

3.3.3. さまざまな変形と歪みテンソル (16)

- このとき、変形は

$$\delta \mathbf{r} = \mathbf{D} \cdot \delta \mathbf{x} = \begin{pmatrix} 0 & -\frac{1}{2}\Omega_3 & 0 \\ \frac{1}{2}\Omega_3 & 0 & 0 \\ 0 & 0 & 0 \end{pmatrix} \begin{pmatrix} \delta x_1 \\ \delta x_2 \\ \delta x_3 \end{pmatrix} = \begin{pmatrix} -\frac{1}{2}\Omega_3 \delta x_2 \\ \frac{1}{2}\Omega_3 \delta x_1 \\ 0 \end{pmatrix} \quad (37)$$

で与えられる.

- すなわち,

$$\delta r_1 = -\frac{1}{2}\Omega_3 \delta x_2, \quad \delta r_2 = \frac{1}{2}\Omega_3 \delta x_1, \quad \delta r_3 = 0, \quad (38)$$

であり、点は x_3 軸まわりに角度 $\Omega_3/2$ [rad] だけ回転していることを意味する.

3.3.3. さまざまな変形と歪みテンソル (17)

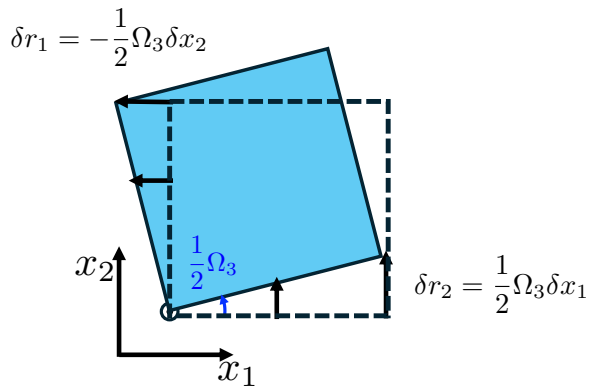


図 6: 回転変形

3.3.3. さまざまな変形と歪みテンソル (18)

- このように，変形勾配テンソルは

$$\mathbf{D} = \mathbf{E} + \mathbf{F} \quad (39)$$

と分解され， \mathbf{E} は対称成分（歪み）， \mathbf{F} は反対称成分（回転）をそれぞれ表す．

3.3.3. さまざまな変形と歪みテンソル (19)

例題 3-1：単純剪断変形

連続体が x_1 方向のみに変形し，変形の大きさが x_2 に比例する

$$\delta \mathbf{r} = (\alpha \delta x_2, 0, 0) \quad (40)$$

単純剪断変形を考える．ここで $\alpha(>0)$ は比例定数である．このときの変形勾配テンソル，歪みテンソル，回転テンソルを求めよ．また，回転テンソルから回転ベクトルを求めよ．

(解答)

3.3.3. さまざまな変形と歪みテンソル (20)

- 変位と相対位置の関係は,

$$\delta \mathbf{r} = \mathbf{D} \cdot \delta \mathbf{x} \quad (41)$$

であるので, 変形勾配テンソルは

$$\mathbf{D} = \begin{pmatrix} 0 & \alpha & 0 \\ 0 & 0 & 0 \\ 0 & 0 & 0 \end{pmatrix} \quad (42)$$

である.

3.3.3. さまざまな変形と歪みテンソル (21)

- これを対称, 反対称成分に分解すると, 対称成分である歪みテンソルは

$$\mathbf{E} = \begin{pmatrix} 0 & \frac{\alpha}{2} & 0 \\ \frac{\alpha}{2} & 0 & 0 \\ 0 & 0 & 0 \end{pmatrix} \quad (43)$$

となる.

- 一方, 反対称成分である回転テンソルは,

$$\mathbf{F} = \begin{pmatrix} 0 & \frac{\alpha}{2} & 0 \\ -\frac{\alpha}{2} & 0 & 0 \\ 0 & 0 & 0 \end{pmatrix} \quad (44)$$

となる.

3.3.3. さまざまな変形と歪みテンソル (22)

- これより，回転ベクトルは

$$\boldsymbol{\Omega} = \begin{pmatrix} 0 \\ 0 \\ -\frac{\alpha}{2} \end{pmatrix} \quad (45)$$

となる．

- このように，単純剪断変形 (simple shear) は，剪断歪み $\frac{\alpha}{2}$ を与えたのちに， $-\frac{\alpha}{2}$ 回転したものに相当する (図 7)．
- 単純剪断変形は，長方形の面の高さを維持しながら平行四辺形への変形に対応するため，連続体の体積が変化しないことがわかる．

3.3.3. さまざまな変形と歪みテンソル (23)

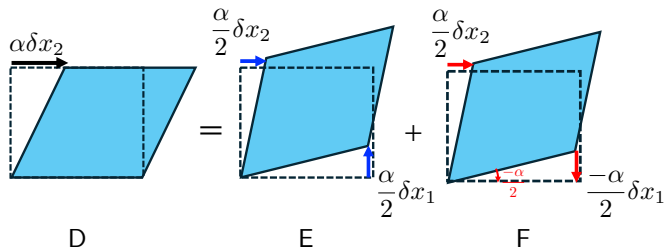


図 7: 単純剪断変形 (simple shear) を純粋剪断 (pure shear) と回転に分解する。

第3回講義資料目次

- 1 講義のスケジュール
- 2 応力テンソルの性質
 - 応力テンソルの対称性
- 3 連続体の変形と応力
 - 連続体の変形
 - 歪みテンソルと回転ベクトル
 - さまざまな変形と歪みテンソル
- 4 まとめ

3.4. まとめ

- 応力テンソルが対称であることを導出した.
- 連続体の変形について定式化した.
- 変形勾配テンソルを導入し, これを対称成分・反対称成分に分解すると, それぞれ歪みと回転に対応することを確認した.
- 様々な変形を具体的に定式化した.

次回：線形弾性論（Hooke の法則）